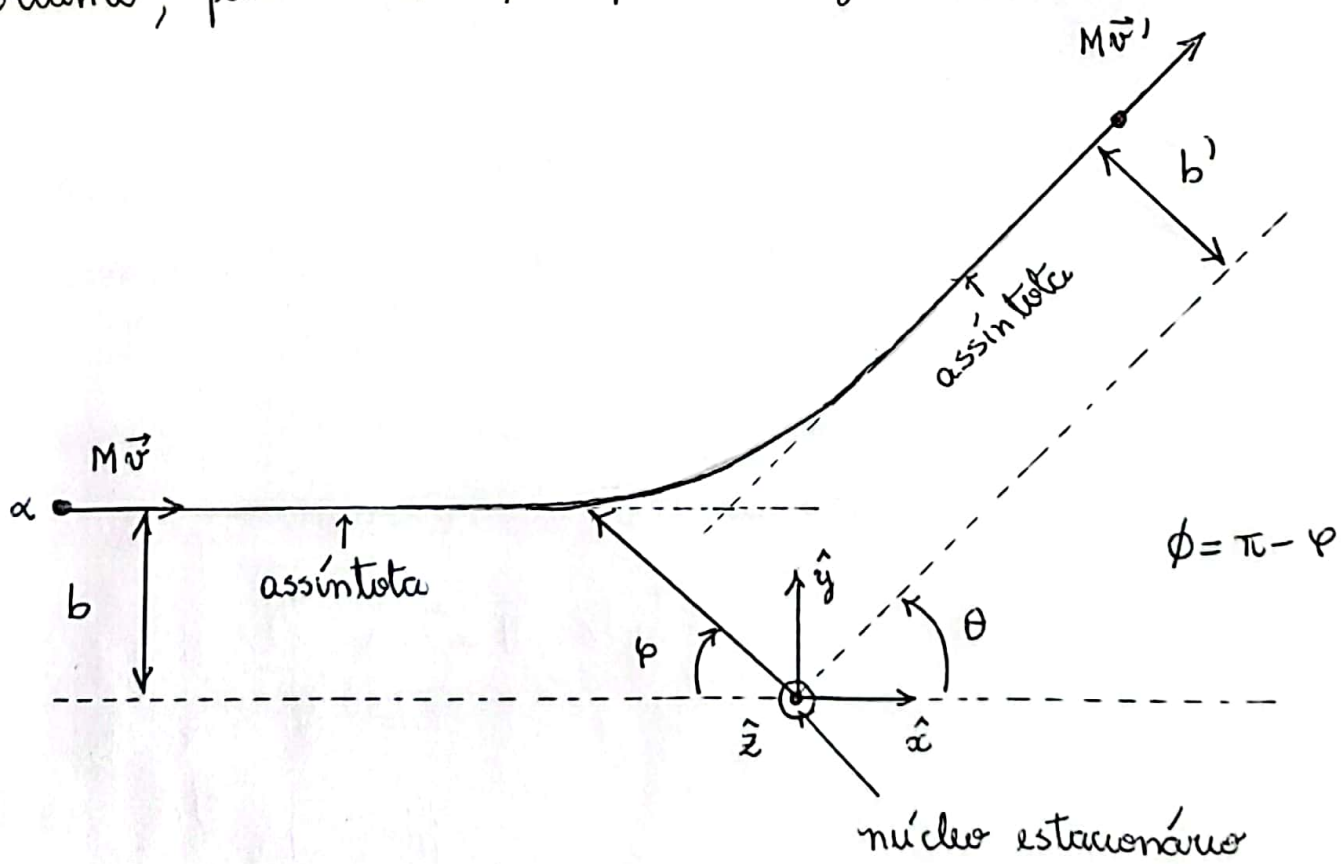


# ① modelo atômico de Rutherford

①

Para interpretar os resultados de espalhamento de partículas α por folha de ouro Rutherford propôs um modelo atômico em que toda a carga positiva e, consequentemente, toda a massa do átomo essencialmente, estavam concentradas numa região diminuta chamada de núcleo.

Do nosso cálculo anterior para o ângulo de espalhamento elástico  $\theta$  de uma partícula α de massa  $M$  por uma carga elástica  $\Theta$  de massa  $m = \lambda M$ , concluímos que  $\sin\theta \ll \lambda$ , portanto, para  $\lambda \gg 1$ ,  $\theta$  pode atingir valores de até  $180^\circ$ !



$b$  é chamado de parâmetro de impacto.

(2)

No cálculo que se segue, trataremos o núcleo como estacionário. Sabemos que nesse problema, durante o esplachnamento, o núcleo move. O cálculo pode ser feito no centro de massa do sistema  $\alpha$ -núcleo para levar em conta tal movimento. Aqui, nosso cálculo será aproximado mas ainda assim as conclusões serão válidas ainda, mesmo desconsiderando-se o movimento.

A força de repulsão Coulombiana exercida pelo núcleo sobre a partícula  $\alpha$  é de natureza central

$$\vec{F} = \frac{1}{4\pi\epsilon_0} \frac{z Z e^2}{r^2} \hat{r}$$

onde  $z=2$  é o número atômico da partícula  $\alpha$  e  $Z$  é o número atômico do material que compõe a folha espalhadora ( $Z=79$  para ouro).

Como a força é central, o torque sobre a partícula  $\alpha$  é nulo e seu momento angular se conserva

$$\vec{\tau} = \frac{d\vec{l}}{dt} = \vec{r} \times \vec{F} = \vec{0}$$

Logo

$$\vec{l}_i = \vec{r} \times \vec{p}_i = \vec{r} \times (M\vec{v}) = (x\hat{x} + b\hat{y}) \times (Mv\hat{x}) = -Mvb\hat{z}$$

$$\vec{l}_f = -Mvb'\hat{z}$$

Conservação de energia implica

$$\frac{1}{2} M v^2 = \frac{1}{2} M v'^2 \Rightarrow v' = v$$

Portanto

$$\vec{L}_i = \vec{L}_f \Rightarrow b' = b$$

A segunda lei de Newton aplicada à partícula leva

a

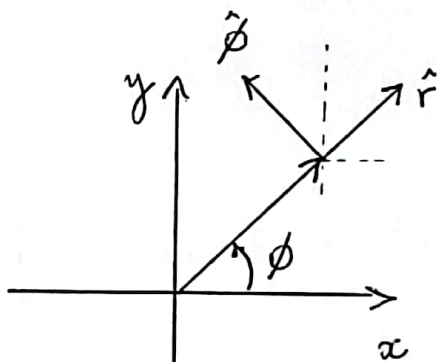
$$\vec{F} = \frac{1}{4\pi\epsilon_0} \frac{z Z e^2}{r^2} \hat{r} = M \frac{d^2 \vec{r}}{dt^2} \quad \text{com } \vec{r} = r \hat{r}$$

Como

$$\begin{cases} \hat{r} = \cos\phi \hat{x} + \sin\phi \hat{y} \\ \hat{\phi} = -\sin\phi \hat{x} + \cos\phi \hat{y} \end{cases}$$



$$\frac{d\hat{r}}{dt} = \dot{\phi} \hat{\phi} \quad \text{e} \quad \frac{d\hat{\phi}}{dt} = -\dot{\phi} \hat{r}$$



Então

$$\frac{d\vec{r}}{dt} = \dot{r} \hat{r} + r \dot{\phi} \hat{\phi}$$

$$\frac{d^2 \vec{r}}{dt^2} = (\ddot{r} - r \dot{\phi}^2) \hat{r} + (2\dot{r}\dot{\phi} + r \ddot{\phi}) \hat{\phi}$$

Dessa forma, podemos escrever a partir da 2ª lei de (4)

Newton

$$\left\{ \begin{array}{l} \frac{zze^2}{4\pi\epsilon_0 r^2} = M \left[ \frac{d^2r}{dt^2} - r \left( \frac{d\phi}{dt} \right)^2 \right] \\ 2 \left( \frac{dr}{dt} \right) \left( \frac{d\phi}{dt} \right) + r \frac{d^2\phi}{dt^2} = 0 \end{array} \right.$$

Uma equação que também pode ser escrita (embora não seja independente das duas acima) é aquela oriunda diretamente da conservação de momento angular

$$\vec{L} = \vec{r} \times \vec{p} = r \hat{r} \times \left( M \frac{d\vec{r}}{dt} \right) = \overset{\rightarrow}{cte}$$

$$M r \hat{r} \times \left( \dot{r} \hat{r} + r \frac{d\hat{r}}{dt} \right) = M r \hat{r} \times (\dot{r} \hat{r} + r \dot{\phi} \hat{\phi}) = M r^2 \dot{\phi} \hat{z}$$

Portanto

$$M r^2 \frac{d\phi}{dt} = cte$$

No uso de Mecânica Clássica vocês resolverão as equações acima para obter a trajetória da partícula d

$$\frac{1}{r} = \frac{1}{b} \sin\varphi + \frac{D}{2b^2} (\cos\varphi - 1) ,$$

onde

$$D = \frac{1}{4\pi\epsilon_0} \frac{ze^2}{Mv^2/2} \quad \text{e} \quad \varphi = \pi - \theta$$

Numa colisão frontal ( $b=D$ ),  $D$  é a distância de maior aproximação entre partícula  $\alpha$  e núcleo, já que nesse ponto a energia da partícula está toda na forma potencial, portanto

$$ze \left( \frac{1}{4\pi\epsilon_0} \frac{ze}{D} \right) = \frac{Mv^2}{2}$$

De acordo com a equação da trajetória, o ângulo de esplâncnamento  $\theta$  pode ser obtido a partir  $\varphi$  quando  $r \rightarrow \infty$

$$\frac{1}{b} \sin \varphi + \frac{D}{2b^2} (\cos \varphi - 1) = 0$$

$$\sin \varphi = \frac{D}{2b} (1 - \cos \varphi)$$

Nesse limite (excluindo, é claro, a solução trivial  $\varphi=0$ ), temos que

$$\varphi = \pi - \theta \Rightarrow \begin{cases} \sin \varphi = \sin(\pi - \theta) = \sin \theta \\ \cos \varphi = \cos(\pi - \theta) = -\cos \theta \end{cases}$$

(6)

hacer

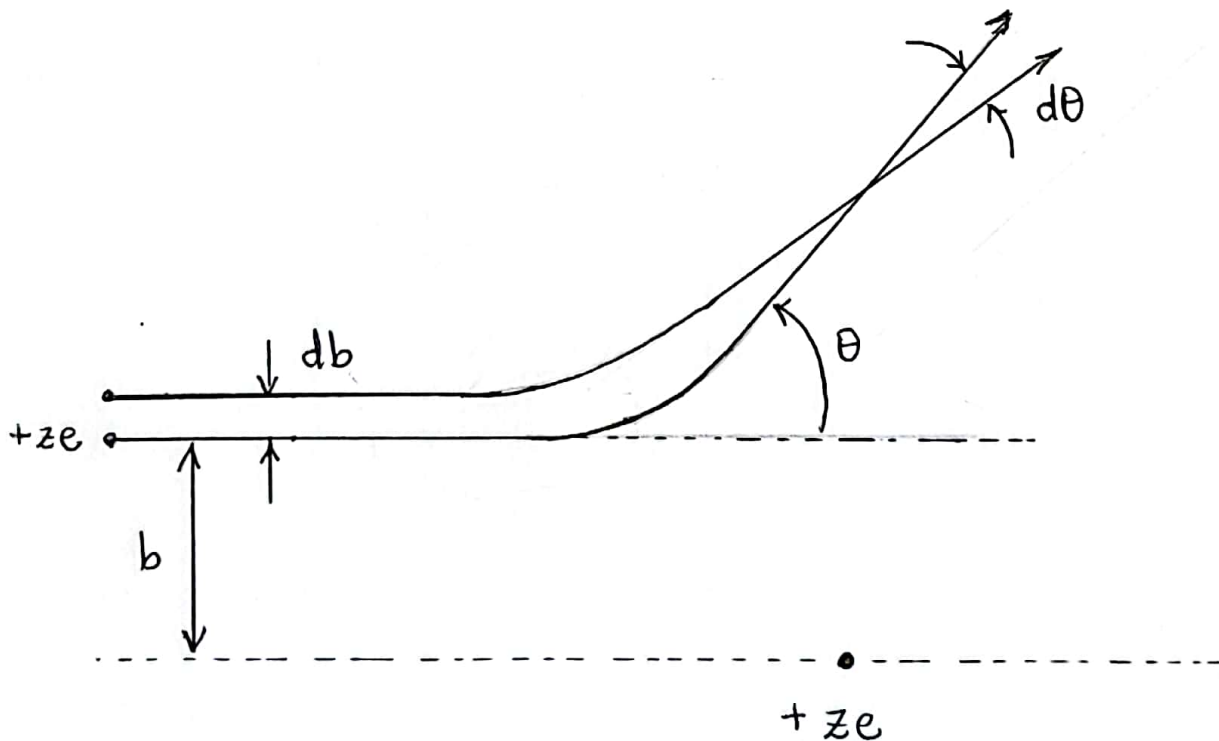
$$\sin \theta = \frac{D}{2b} (1 + \cos \theta)$$

$$2 \sin(\theta/2) \cos(\theta/2) = \frac{D}{2b} \left[ 1 + \cos^2(\theta/2) - \sin^2(\theta/2) \right]$$

$$= \frac{D}{b} \cos^2(\theta/2)$$

Por tanto

$$\tan(\theta/2) = \frac{D}{2b} \Rightarrow \boxed{\cotan\left(\frac{\theta}{2}\right) = \frac{2b}{D}}$$



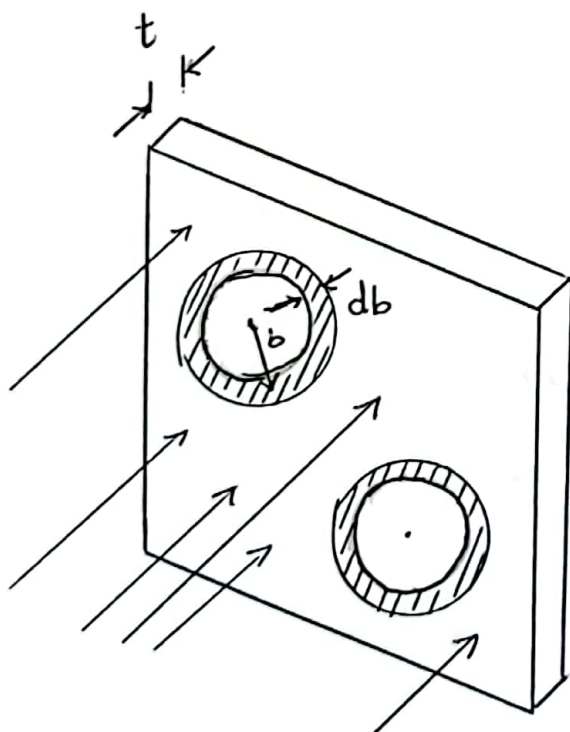
(7)

Se a folha for suficientemente fina, de modo que não haja sobreposição de anéis de átomos distintos, então podemos escrever

$$\underbrace{P(b)db}_{\text{probabilidade da partícula } \alpha \text{ passar a uma distância entre } b \text{ e } b+db \text{ do núcleo}} = \frac{\text{área total dos anéis de raio } b \text{ e largura } db}{\text{área transversal da folha}}$$

área transversal da folha

probabilidade da partícula  $\alpha$  passar a uma distância entre  $b$  e  $b+db$  do núcleo



Então

$$P(b)db = \frac{(2\pi b db) \times p A t}{A} = pt 2\pi b db$$

Mas sabemos que

$$b = \frac{D}{2} \cot \left( \frac{\theta}{2} \right),$$

de modo que

$$db = \frac{D}{2} \left[ \frac{-1}{\sin^2(\theta/2)} \quad \frac{1}{2} \right] d\theta$$

então

$$b db = \frac{D}{2} \frac{\cos(\theta/2)}{\sin(\theta/2)} \left[ -\frac{D}{4} \quad \frac{1}{\sin^2(\theta/2)} \right] d\theta \times \frac{2 \sin^2(\theta/2)}{2 \sin(\theta/2)}$$

$$b db = -\frac{D^2}{16} \frac{\sin \theta}{\sin^4(\theta/2)} d\theta$$

Por outro lado, conservação de probabilidade implica que

$$|P(b) db| = |P(\theta) d\theta|,$$

de modo que podemos escrever finalmente

$$\frac{N(\theta) d\theta}{I} = P(\theta) d\theta = \frac{\pi}{8} \rho t D^2 \frac{\sin \theta}{\sin^4(\theta/2)} d\theta,$$

onde na última linha voltamos a usar o ângulo  $\theta$  da experiência de Rutherford ( $\theta \rightarrow \Theta$ ).

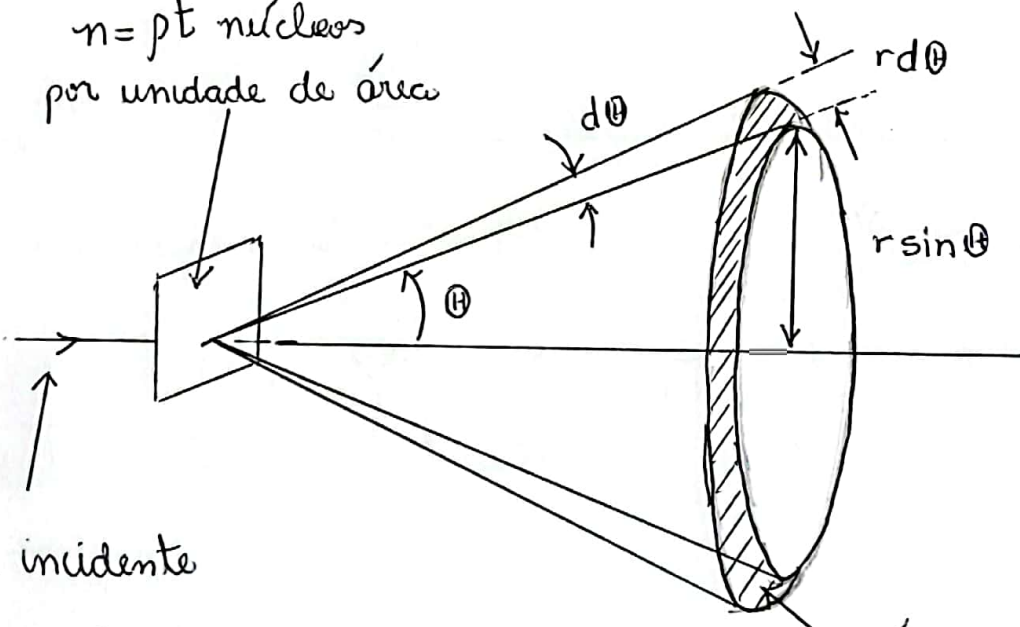
Como

$$D = \frac{1}{4\pi G_0} \frac{z Z e^2}{M v^2 / 2},$$

podemos escrever

$$\underbrace{N(\theta) d\theta}_{\equiv dN} = I \left( \frac{1}{4\pi G_0} \right)^2 \left( \frac{z Z e^2}{2 M v^2} \right)^2 \rho t 2\pi \frac{\sin \theta}{\sin^4(\theta/2)} d\theta$$

$n = \rho t$  núclos  
por unidade de área



fluxo incidente  
com  $I$  partículas

área infinitesimal

$$dA = 2\pi r^2 \sin \theta d\theta$$

Logo, o ângulo sólido subentendido pelo ângulo  $d\theta$  em torno de  $\theta$  é dado por

$$d\Omega = \frac{dA}{r^2} = 2\pi \sin \theta d\theta$$

Então

$$\frac{dN}{d\Omega} = I \left( \frac{1}{4\pi E_0} \right)^2 \left( \frac{Z Z' e^2}{2Mv^2} \right)^2 pt \quad \frac{1}{\sin^4 \theta/2} \equiv \underbrace{\frac{d\sigma}{d\Omega}}_{\text{seção de choque diferencial}} \underbrace{I pt}_{\text{núcleo por unidade de área}}$$

$\frac{dN}{d\Omega}$  → número de partículas espalhadas dentro de um ângulo sólido  $d\Omega$

$\frac{1}{\sin^4 \theta/2}$  → seção de choque diferencial

$\frac{d\sigma}{d\Omega}$  → núcleo por unidade de área

Dessa forma, a seção de choque diferencial para esplahamento Rutherford é dada por

$$\frac{d\sigma}{d\Omega} = \left( \frac{1}{4\pi E_0} \right)^2 \left( \frac{Z Z' e^2}{2Mv^2} \right)^2 \frac{1}{\sin^4 \theta/2}$$

Perceba que

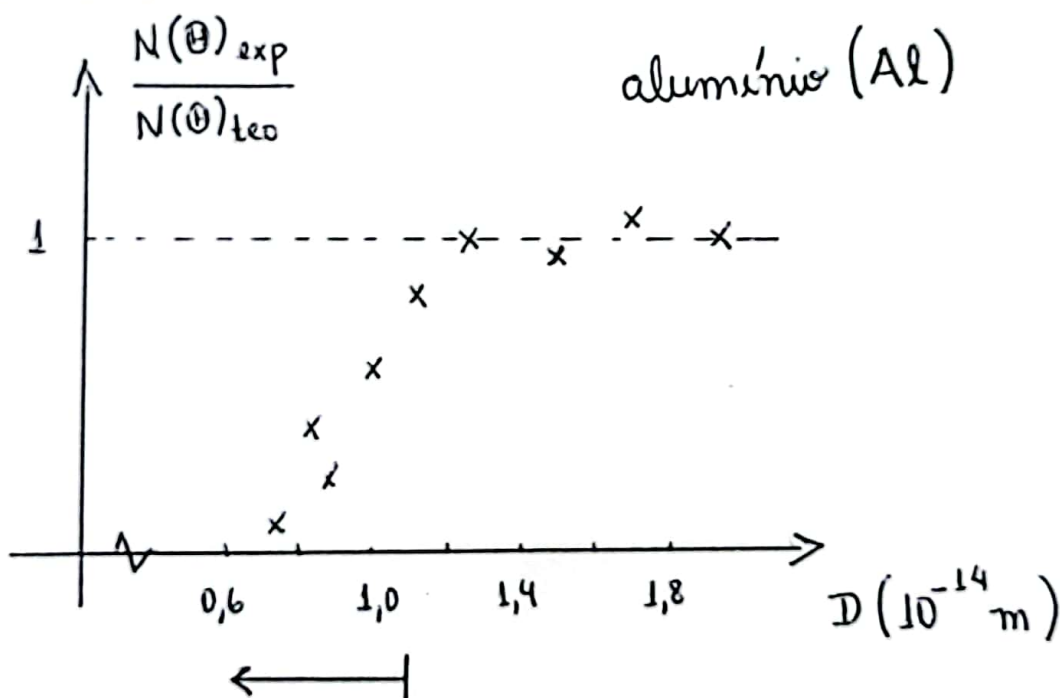
- $\frac{d\sigma}{d\Omega}$  decresce rapidamente com  $\Theta$ , mas bem mais lentamente que no modelo de Thomson onde o decréscimo era exponencial com  $\Theta^2$
- $\frac{d\sigma}{d\Omega} \propto Z^2$ , portanto testes com folhas de Ag ( $Z=47$ ) e Au ( $Z=79$ ) entre  $5^\circ$  e  $150^\circ$  com variações em  $dN/d\Omega$  da ordem  $10^5$  puderam ser feitas pelo grupo de Rutherford
- $\frac{dN}{d\Omega} \propto t$  o que permitiu testar o modelo com variações da espessura da folha de um fator 10
- $\frac{d\sigma}{d\Omega} \propto \frac{1}{Mv^2/2}$ , permitindo o uso de partículas  $\alpha$  de diferentes elementos radioativos para testes do modelo.
- $\frac{d\sigma}{d\Omega} \propto (Ze)^2$ , ou seja, proporcional ao quadrado da carga elétrica nuclear. Como à época,  $Z$  não era conhecido para vários átomos, a fórmula de  $dN/d\Omega$  podia ser usada para determinar  $Z$  por meio de um ajuste aos dados. Esse procedimento levou à conclusão de que  $Z$

era igual ao número atômico químico do elemento. (12)

→ D proporciona um limite superior para o tamanho nuclear

$$R_{\text{nuclear}} < R_{180^\circ} = D = \frac{1}{4\pi E_0} \frac{z^2 e^2}{Mv^2/2}$$

Medindo o raio nuclear



partícula de começa  
a penetrar no núcleo atômico

Conclusão:  $R_{\text{Al}} \sim 10^{-14} \text{ m} = 10 \text{ F}$

$$1 \text{ F} = 10^{-15} \text{ m} = 10^{-5} \text{ Å}$$